



Тиристор быстродействующий импульсный ТБИ833-250-30



Средний прямой ток	I_{TAV}	250 А
Повторяющееся импульсное напряжение в закрытом состоянии	U_{DRM}	3000 В
Повторяющееся импульсное обратное напряжение	U_{RRM}	
Время выключения	t_q	50.0; 63.0; 80.0; 100; 125 мкс
U_{DRM}, U_{RRM} , В		3000
Класс по напряжению		30
T_j , °C		-60 ÷ 125

ПРЕДЕЛЬНО ДОПУСТИМЫЕ ЗНАЧЕНИЯ ПАРАМЕТРОВ

Обозначение и наименование параметра	Ед. изм.	Значение	Условия измерения		
Параметры в проводящем состоянии					
I_{TAV}	А	250 430	$T_c=94$ °C; двухстороннее охлаждение; $T_c=55$ °C; двухстороннее охлаждение; 180 эл. град. синус; 50 Гц		
I_{TRMS}	А	390	$T_c=94$ °C; двухстороннее охлаждение; 180 эл. град. синус; 50 Гц		
I_{TSM}	кА	5.7 6.6	$T_j=T_{j\max}$ $T_j=25$ °C	180 эл. град. синус; 50 Гц ($t_p=10$ мс); единичный импульс; $U_D=U_R=0$ В; Импульс управления: $I_G=I_{FGM}$; $U_G=20$ В; $t_{GP}=50$ мкс; $di_G/dt=1$ А/мкс	
		6.0 6.9	$T_j=T_{j\max}$ $T_j=25$ °C	180 эл. град. синус; 60 Гц ($t_p=8.3$ мс); единичный импульс; $U_D=U_R=0$ В; Импульс управления: $I_G=I_{FGM}$; $U_G=20$ В; $t_{GP}=50$ мкс; $di_G/dt=1$ А/мкс	
I^2t	$A^2 \cdot 10^3$	162 215	$T_j=T_{j\max}$ $T_j=25$ °C	180 эл. град. синус; 50 Гц ($t_p=10$ мс); единичный импульс; $U_D=U_R=0$ В; Импульс управления: $I_G=I_{FGM}$; $U_G=20$ В; $t_{GP}=50$ мкс; $di_G/dt=1$ А/мкс	
		149 197	$T_j=T_{j\max}$ $T_j=25$ °C	180 эл. град. синус; 60 Гц ($t_p=8.3$ мс); единичный импульс; $U_D=U_R=0$ В; Импульс управления: $I_G=I_{FGM}$; $U_G=20$ В; $t_{GP}=50$ мкс; $di_G/dt=1$ А/мкс	

Блокирующие параметры				
U_{DRM} , U_{RRM}	Повторяющееся импульсное обратное напряжение и повторяющееся импульсное напряжение в закрытом состоянии	В	3000	$T_{j\ min} < T_j < T_{j\ max}$; 180 эл. град. синус; 50 Гц; управление разомкнуто
U_{DSM} , U_{RSM}	Неповторяющееся импульсное обратное напряжение и неповторяющееся импульсное напряжение в закрытом состоянии	В	3100	$T_{j\ min} < T_j < T_{j\ max}$; 180 эл. град. синус; 50 Гц; единичный импульс; управление разомкнуто
U_D , U_R	Постоянное обратное и постоянное прямое напряжение	В	$0.75 \cdot U_{DRM}$ $0.75 \cdot U_{RRM}$	$T_j = T_{j\ max}$; управление разомкнуто
Параметры управления				
I_{FGM}	Максимальный прямой ток управления	А	6	$T_j = T_{j\ max}$
U_{RGM}	Максимальное обратное напряжение управления	В	5	
P_G	Максимальная рассеиваемая мощность по управлению	Вт	3	
Параметры переключения				
$(di_t/dt)_{crit}$	Критическая скорость нарастания тока в открытом состоянии ($f=1$ Hz)	A/мкс	1000	$T_j = T_{j\ max}$; $U_D = 0.67 \cdot U_{DRM}$; $I_{TM} = 2 I_{TAV}$; Импульс управления: $I_G = I_{FGM}$; $U_G = 20$ В; $t_{GP} = 50$ мкс; $di_G/dt = 1$ А/мкс
Тепловые параметры				
T_{stg}	Температура хранения	°C	- 60...+125	
T_j	Температура р-п перехода	°C	- 60...+125	
Механические параметры				
F	Монтажное усилие	кН	9.0 - 11.0	
a	Ускорение	м/с ²	50 100	В не зажатом состоянии В зажатом состоянии

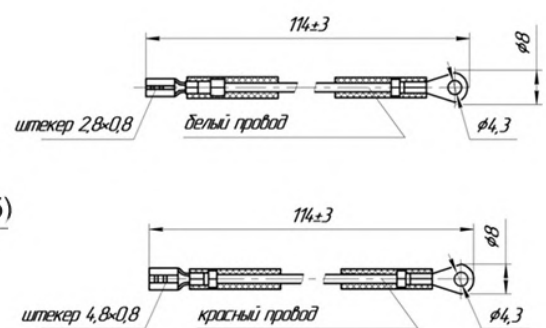
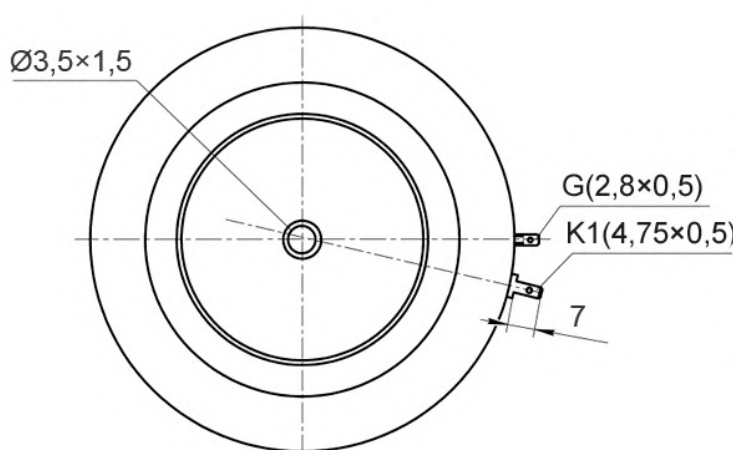
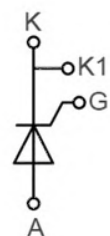
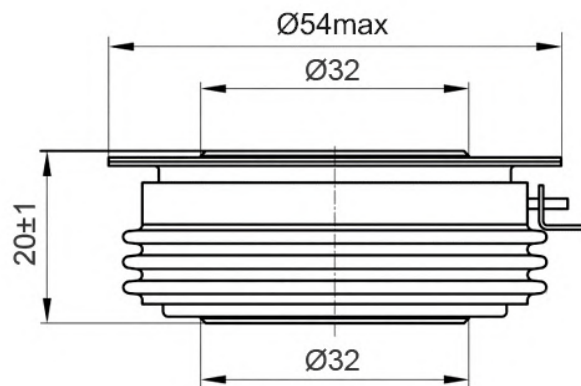
ХАРАКТЕРИСТИКИ

Обозначение и наименование характеристики	Ед. изм.	Значение	Условия измерения
Характеристики в проводящем состоянии			
U_{TM}	Импульсное напряжение в открытом состоянии, макс	В	3.0
$U_{T(TO)}$	Пороговое напряжение, макс	В	1.7
r_T	Динамическое сопротивление в открытом состоянии, макс	МОм	2.200
I_H	Ток удержания, макс	мА	500
			$T_j = 25$ °C; $U_D = 12$ В; управление разомкнуто
Блокирующие характеристики			
I_{DRM} , I_{RRM}	Повторяющийся импульсный обратный ток и повторяющийся импульсный ток в закрытом состоянии, макс	мА	70
$(dv_D/dt)_{crit}$	Критическая скорость нарастания напряжения в закрытом состоянии ¹⁾ , мин	В/мкс	1000
			$T_j = T_{j\ max}$; $U_D = U_{DRM}$; $U_R = U_{RRM}$
			$T_j = T_{j\ max}$; $U_D = 0.67 \cdot U_{DRM}$; управление разомкнуто

Характеристики управления						
U_{GT}	Отпирающее постоянное напряжение управления, макс	B	4.00 2.50 2.00	$T_j = T_{j \min}$ $T_j = 25^\circ C$ $T_j = T_{j \max}$	$U_D = 12 V; I_D = 3 A;$ Постоянный ток управления	
I_{GT}	Отпирающий постоянный ток управления, макс	mA	500 300 200	$T_j = T_{j \min}$ $T_j = 25^\circ C$ $T_j = T_{j \max}$		
U_{GD}	Неотпирающее постоянное напряжение управления, мин	B	0.25	$T_j = T_{j \max};$ $U_D = 0.67 \cdot U_{DRM};$		
I_{GD}	Неотпирающий постоянный ток управления, мин	mA	10.00	Постоянный ток управления		
Динамические характеристики						
t_{gd}	Время задержки включения	мкс	3.0	$T_j = 25^\circ C; V_D = 0.4 \cdot V_{DRM}; I_{TM} = I_{TAV};$ Gate pulse: $I_G = I_{FGM}; V_G = 20 V;$ $t_{GP} = 50 ms; di_G/dt = 1 A/ms$		
t_q	Время выключения ²⁾ , макс	мкс	50.0; 63.0; 80.0; 100; 125 63.0; 80.0; 100; 125; 160	$dv_D/dt = 50 V/\text{мкс};$ $dv_D/dt = 200 V/\text{мкс};$	$T_j = T_{j \max}; I_{TM} = I_{TAV}; di_R/dt = -10 A/\text{мкс};$ $U_R = 100 V;$ $U_D = 0.67 U_{DRM}$	
Q_{rr}	Заряд обратного восстановления, макс	мкКл	500	$T_j = T_{j \max}; I_{TM} = I_{TAV}; di_R/dt = -50 A/\text{мкс};$ $U_R = 100 V$		
t_{rr}	Время обратного восстановления, макс	мкс	5.0			
I_{rrM}	Ток обратного восстановления, макс	A	200			
Тепловые характеристики						
R_{thjc}	Тепловое сопротивление р-п переход-корпус, макс	$^{\circ}\text{C}/\text{Вт}$	0.0400	Постоянный ток	Двухстороннее охлаждение	
R_{thjc-A}			0.0880		Охлаждение со стороны анода	
R_{thjc-K}			0.0720		Охлаждение со стороны катода	
R_{thck}	Тепловое сопротивление корпус-охладитель, макс	$^{\circ}\text{C}/\text{Вт}$	0.0060	Постоянный ток		
Механические характеристики						
w	Масса, не более	г	180			
D_s	Длина пути тока утечки по поверхности	мм (дюйм)	19.44 (0.765)			
D_a	Длина пути тока утечки по воздуху	мм (дюйм)	12.10 (0.476)			

ГАБАРИТНЫЕ РАЗМЕРЫ

Тип корпуса: Т.В3



K – катод;

Все размеры в миллиметрах

A – анод;

K1 – вспомогательный катод;

G – управляющий электрод;

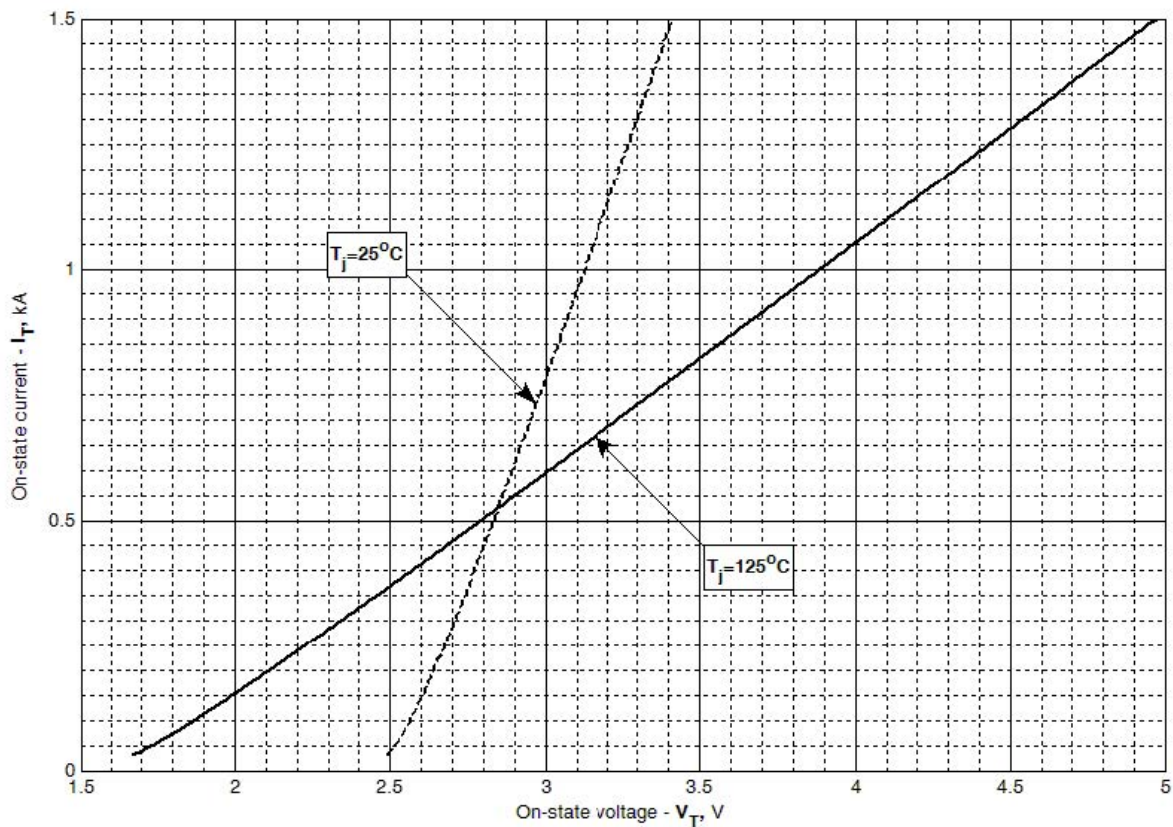


Рис. 1 – Вольт – амперная характеристика в открытом состоянии

Аналитическая функция вольт – амперной характеристики в открытом состоянии:

$$V_T = A + B \cdot i_T + C \cdot \ln(i_T + 1) + D \cdot \sqrt{i_T}$$

	Коэффициенты для графика	
	T _j = 25°C	T _j = T _{j,max}
A	2.424973	1.543421
B	0.532501	2.119300
C	-0.250342	-0.334349
D	0.340838	0.455213

Модель вольт – амперной характеристики в открытом состоянии (см. Рис. 1)

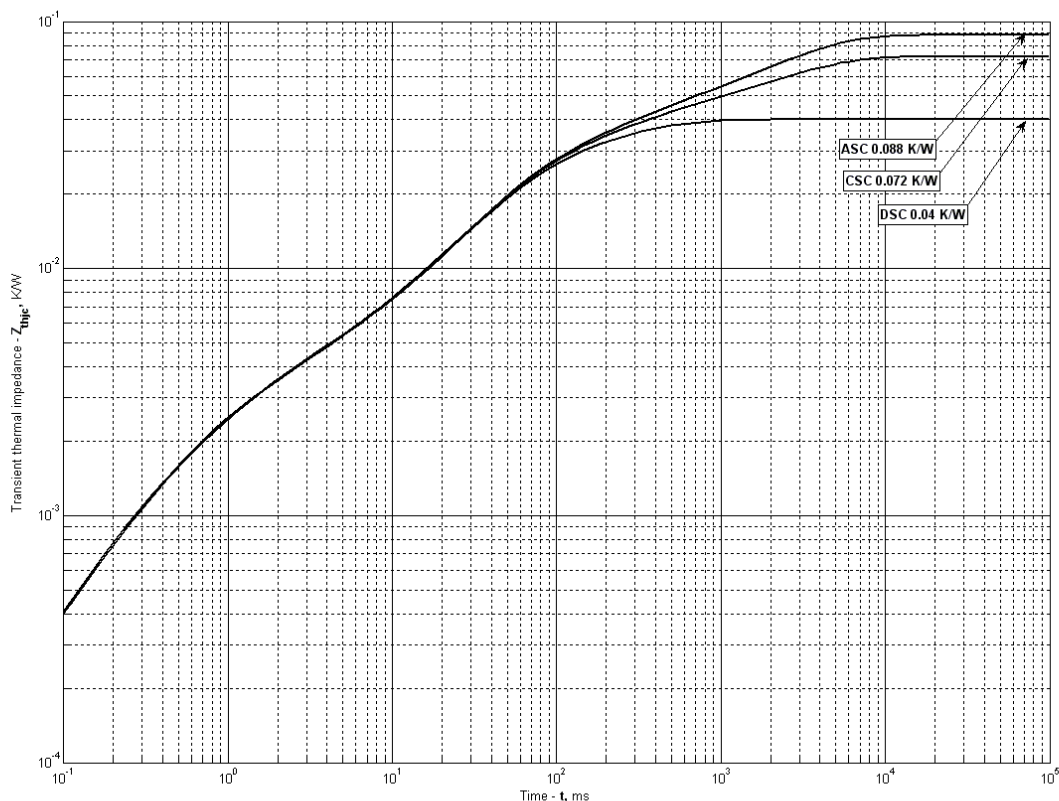


Рис. 2 – Переходное тепловое сопротивление

Аналитическая зависимость переходного теплового сопротивления переход — корпус:

$$Z_{thjc} = \sum_{i=1}^n R_i \left(1 - e^{-\frac{t}{\tau_i}} \right)$$

Где $i = 1$ to n , n – число суммирующихся элементов.

t = продолжительность импульсного нагрева в секундах.

Z_{thjc} = Термическое сопротивление за время t .

R_i, τ_i = расчетные коэффициенты, приведенные в таблице.

Постоянный ток, двустороннее охлаждение

i	1	2	3	4	5	6
$R_i, K/W$	0.01423	0.01906	0.003576	0.002535	-4.666e-005	0.0006479
τ_i, s	0.265	0.05901	0.03499	0.001252	0.000001	0.0002488

Постоянный ток, охлаждение со стороны катода

i	1	2	3	4	5	6
$R_i, K/W$	0.04804	0.001789	0.01342	0.02147	0.001374	0.001945
τ_i, s	2.651	0.4195	0.2622	0.05451	0.002585	0.0005847

Постоянный ток, охлаждение со стороны анода

i	1	2	3	4	5	6
$R_i, K/W$	0.03216	0.01306	0.002934	0.02064	0.001493	0.001786
τ_i, s	2.647	0.2831	0.1455	0.05284	0.002255	0.0005519

Модель переходного теплового сопротивления переход - корпус (см. Рис. 2)

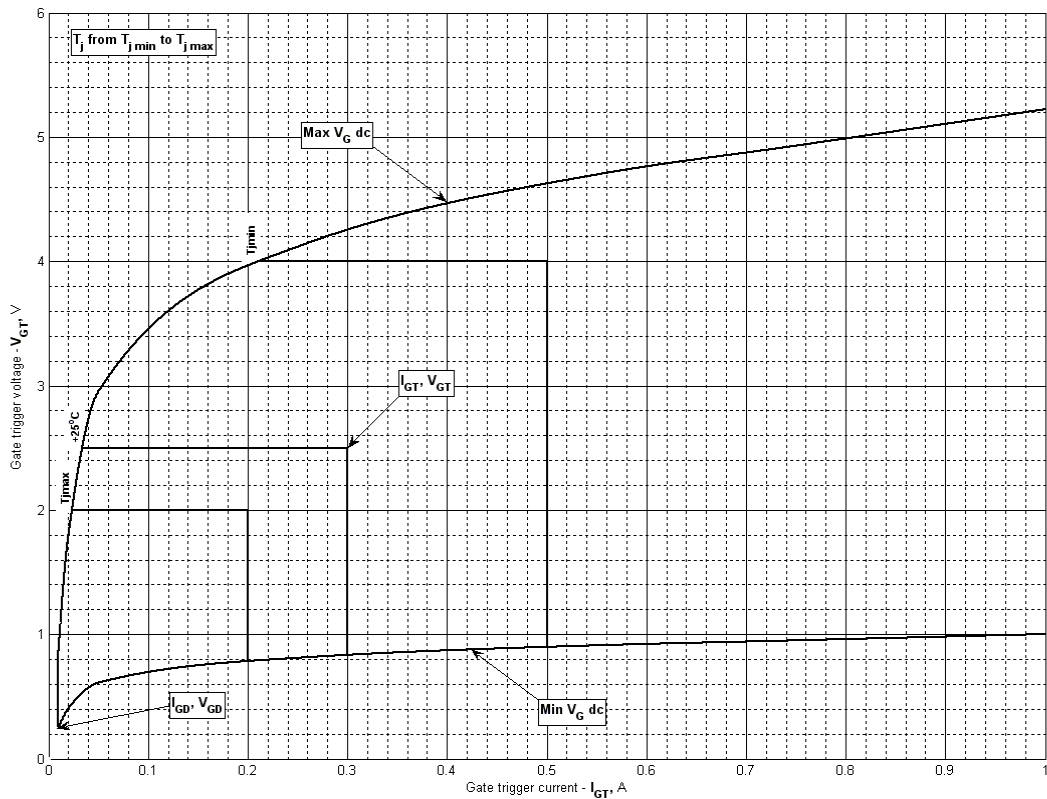


Рис. 3 - Вольт — амперная характеристика цепи управления

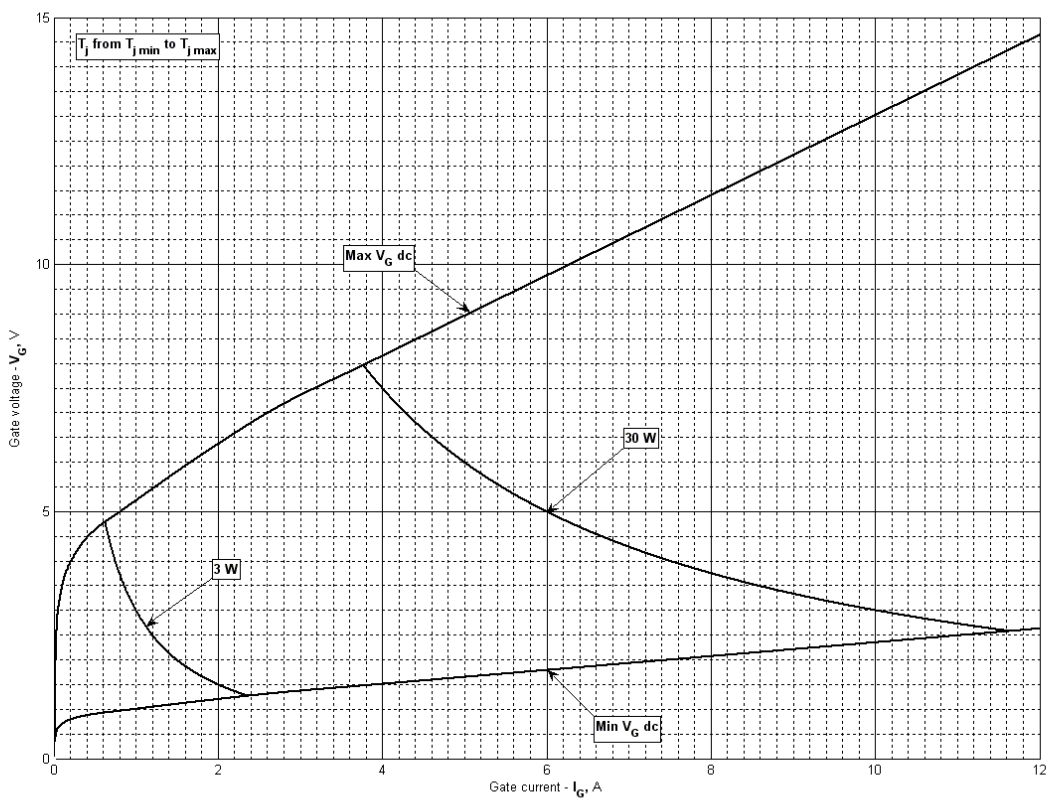


Рис. 4 - Вольт — амперная характеристика цепи управления — Кривые мощности

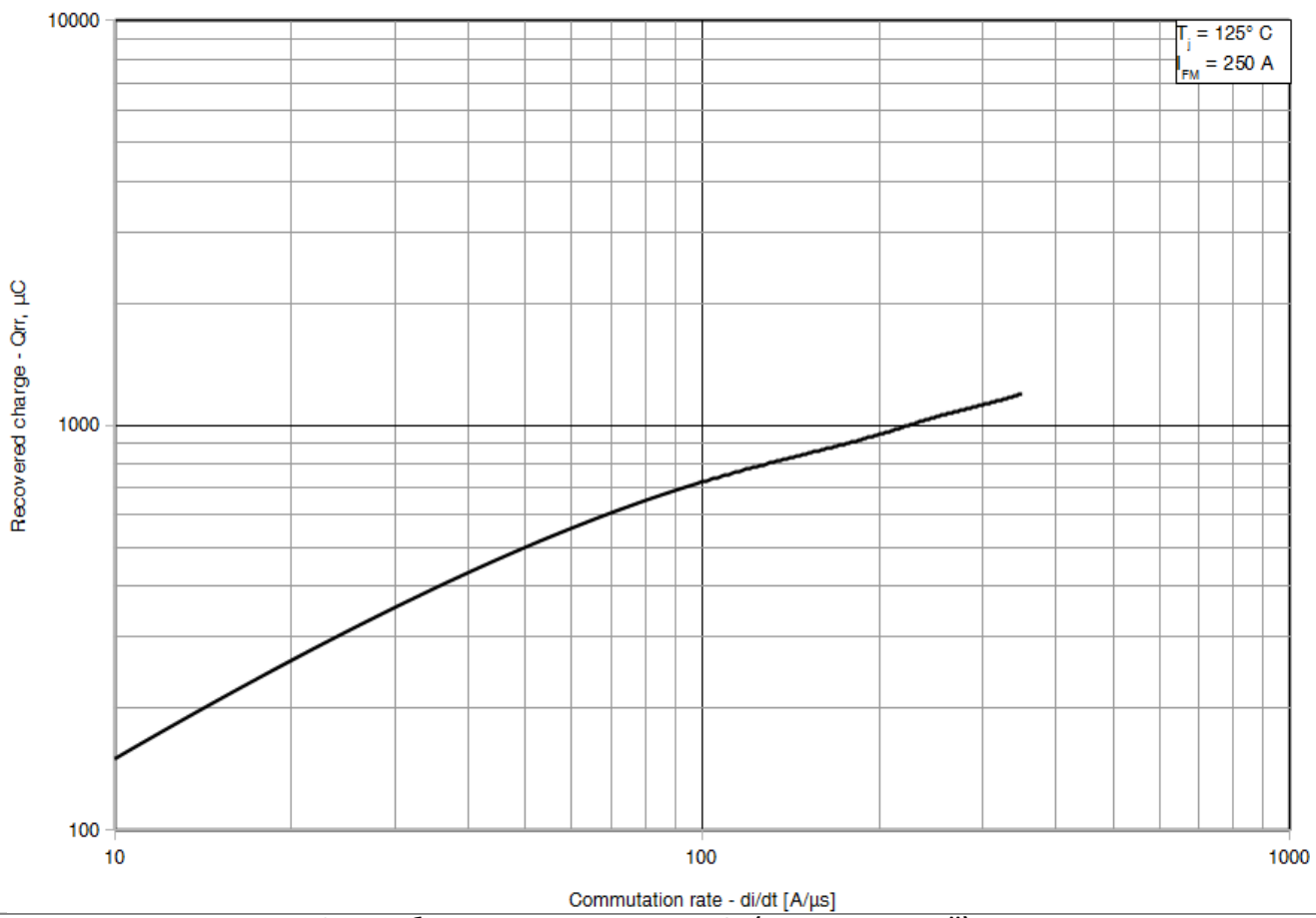


Рис. 5 – Заряд обратного восстановления, Q_{rr} (линейзованный)

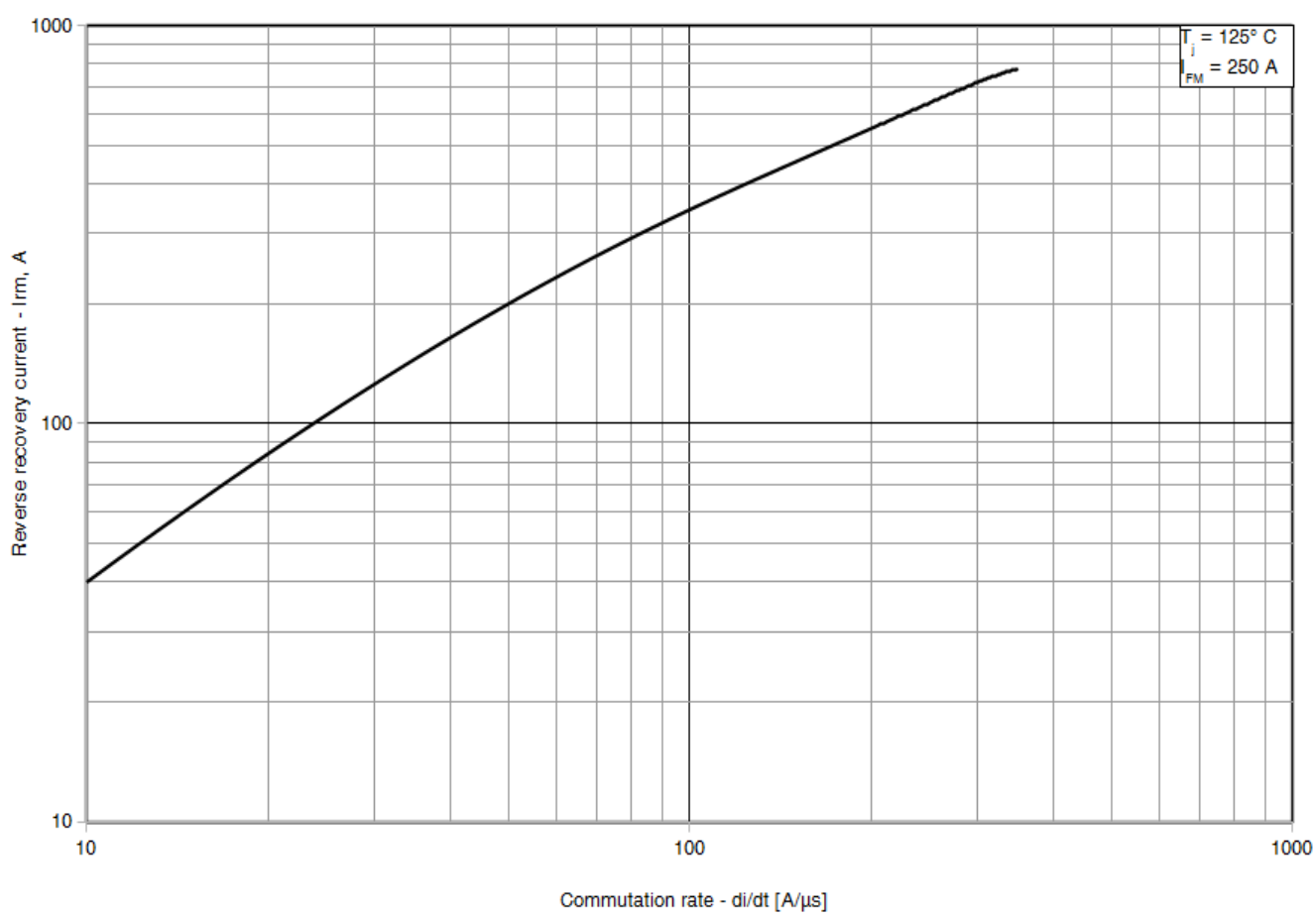


Рис. 6 – Максимальный обратный ток восстановления, I_{rm}

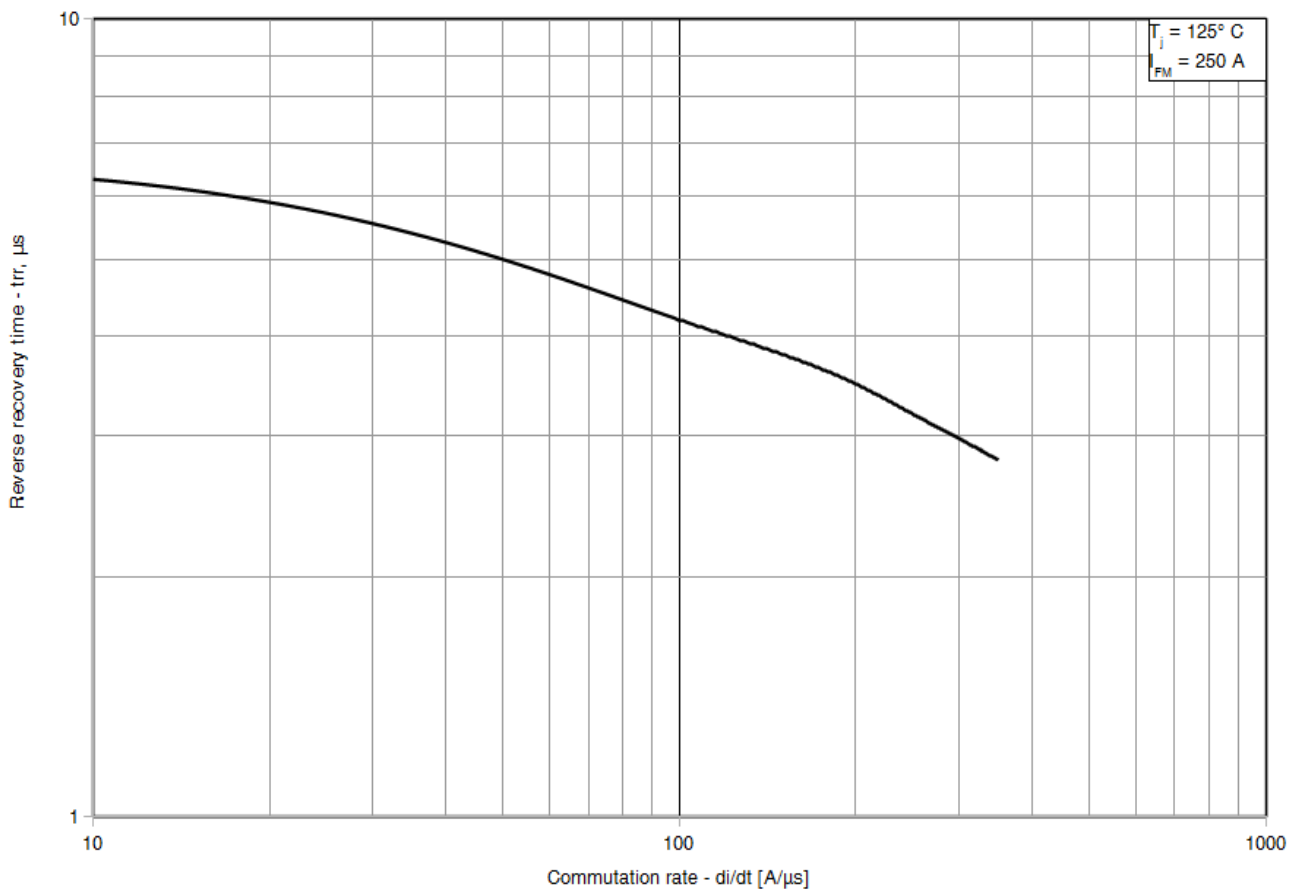


Рис. 7 – Максимальное время обратного восстановления, t_{rr} (линейизованный)

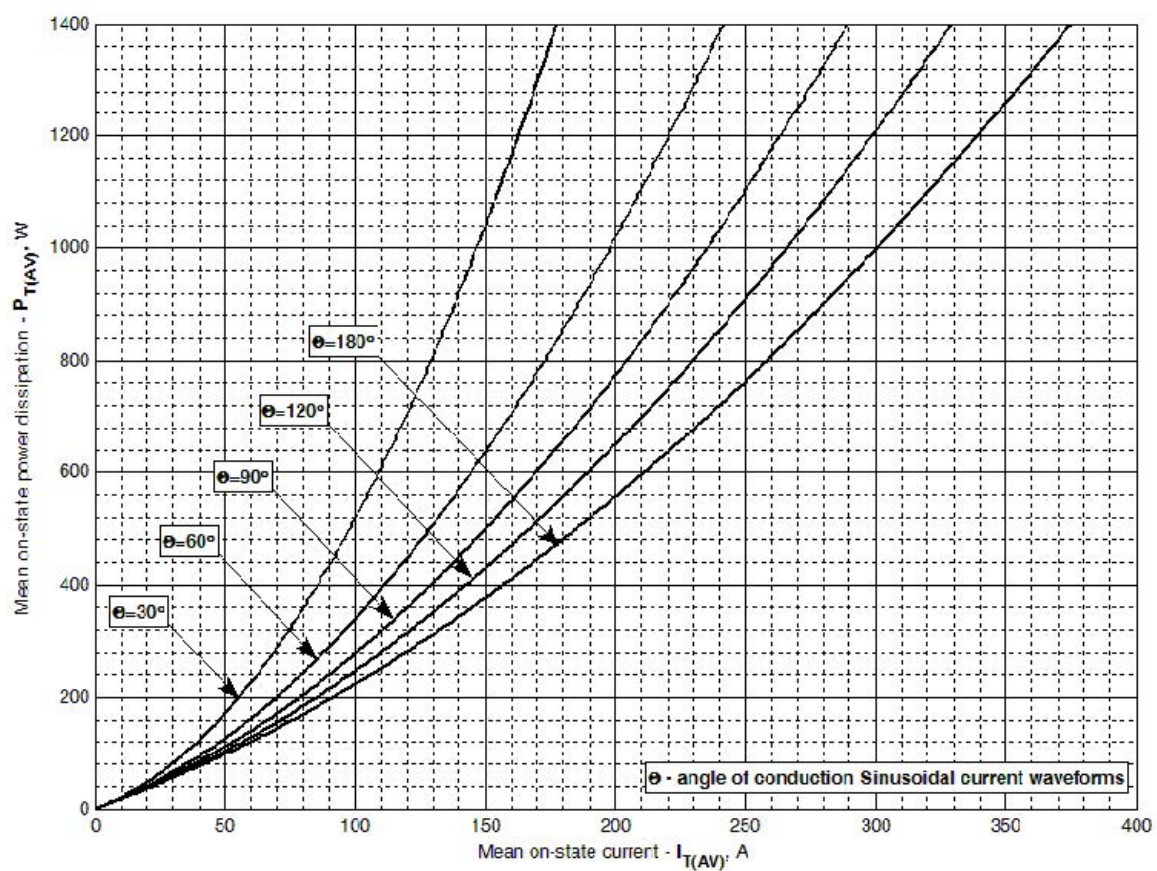


Рис. 8 – Потери мощности в открытом состоянии (синусоидальная форма тока)

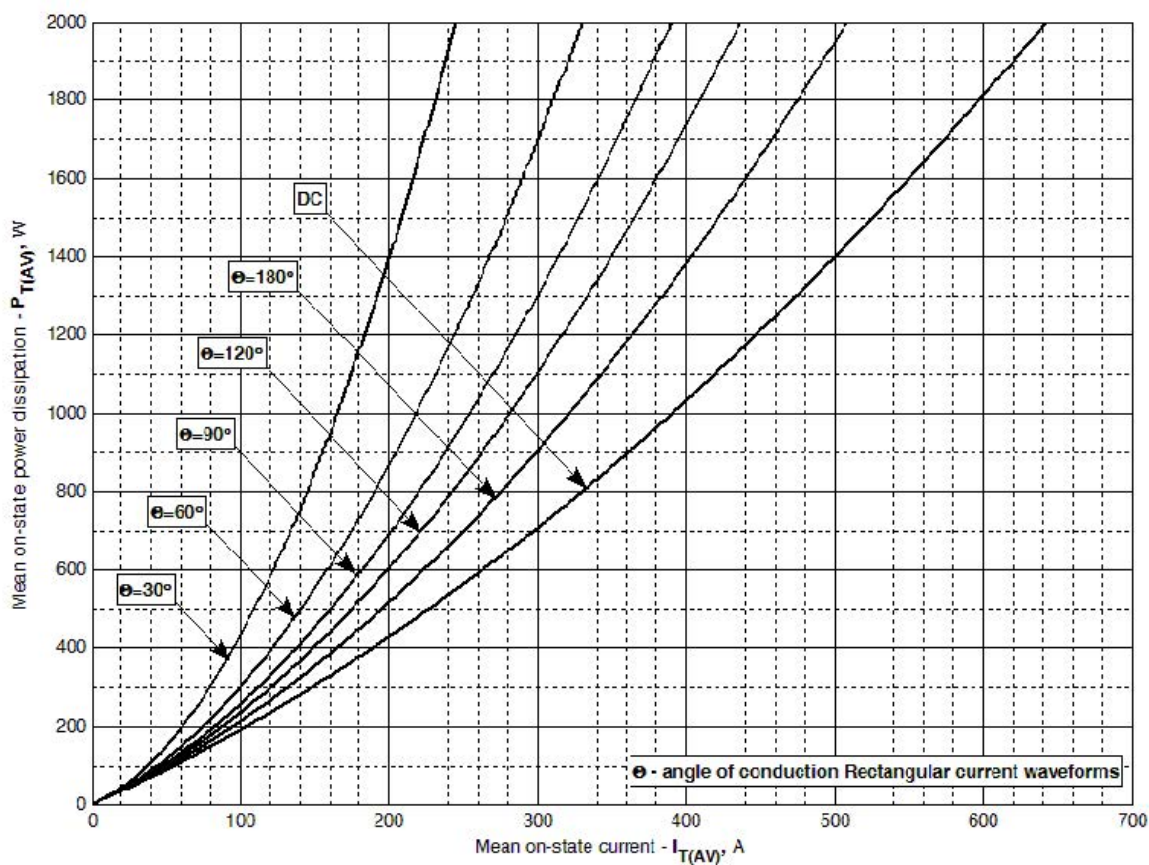


Рис. 9 – Потери мощности в открытом состоянии (прямоугольная форма тока)

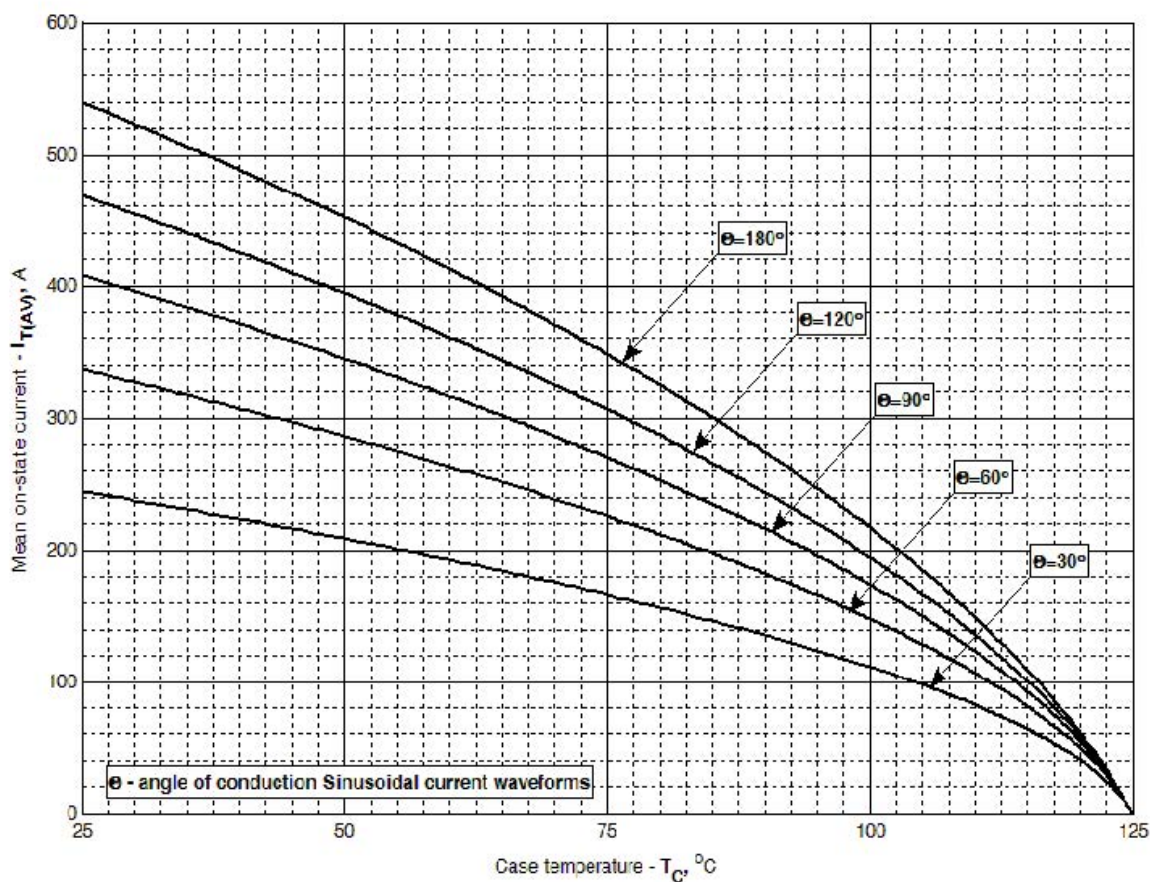


Рис. 10 – Максимальная температура корпуса, двустороннее охлаждение (синусоидальная форма тока)

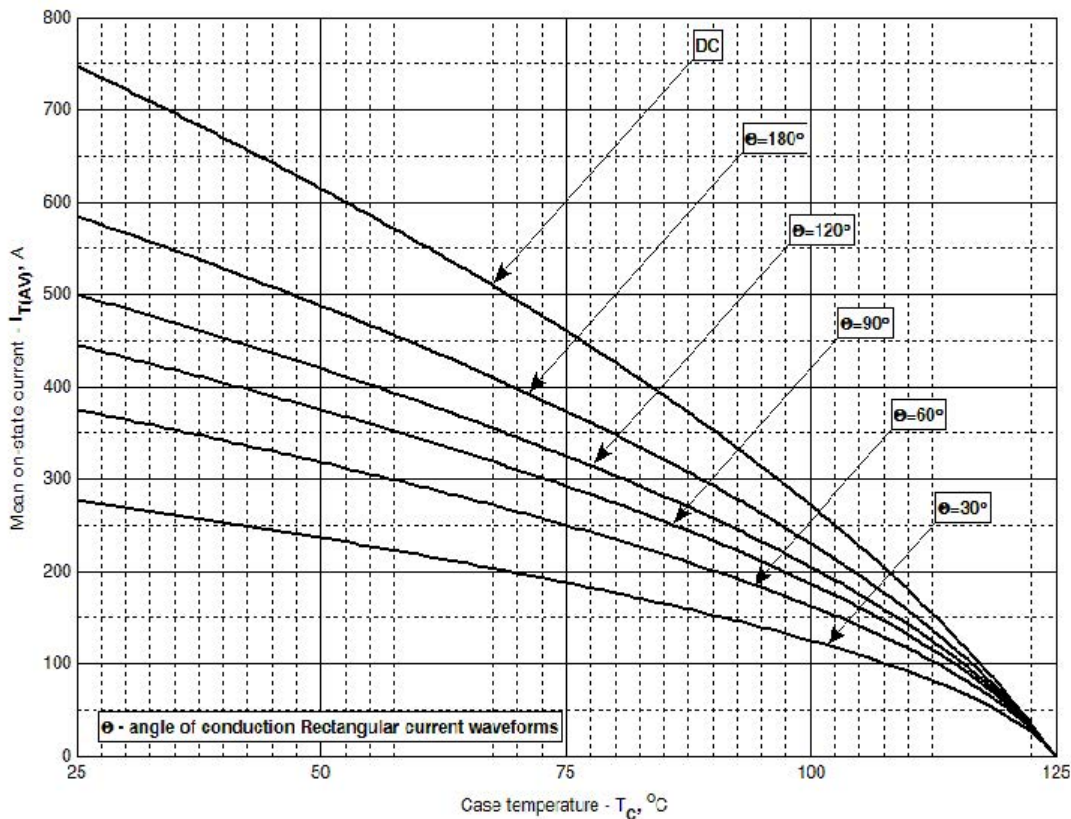


Рис. 11 – Максимальная температура корпуса, двустороннее охлаждение
(прямоугольная форма тока)

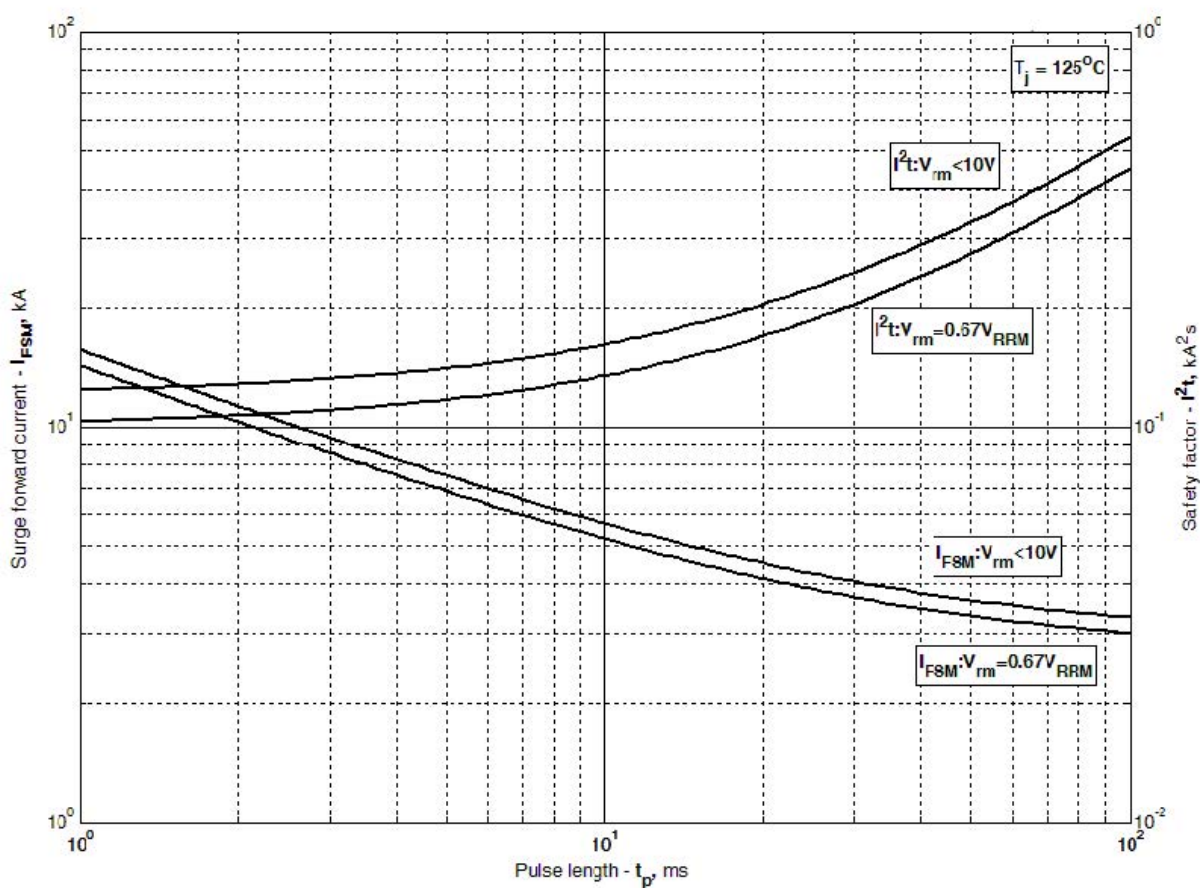


Рис. 12 – Максимальные ударные и I^2t характеристики

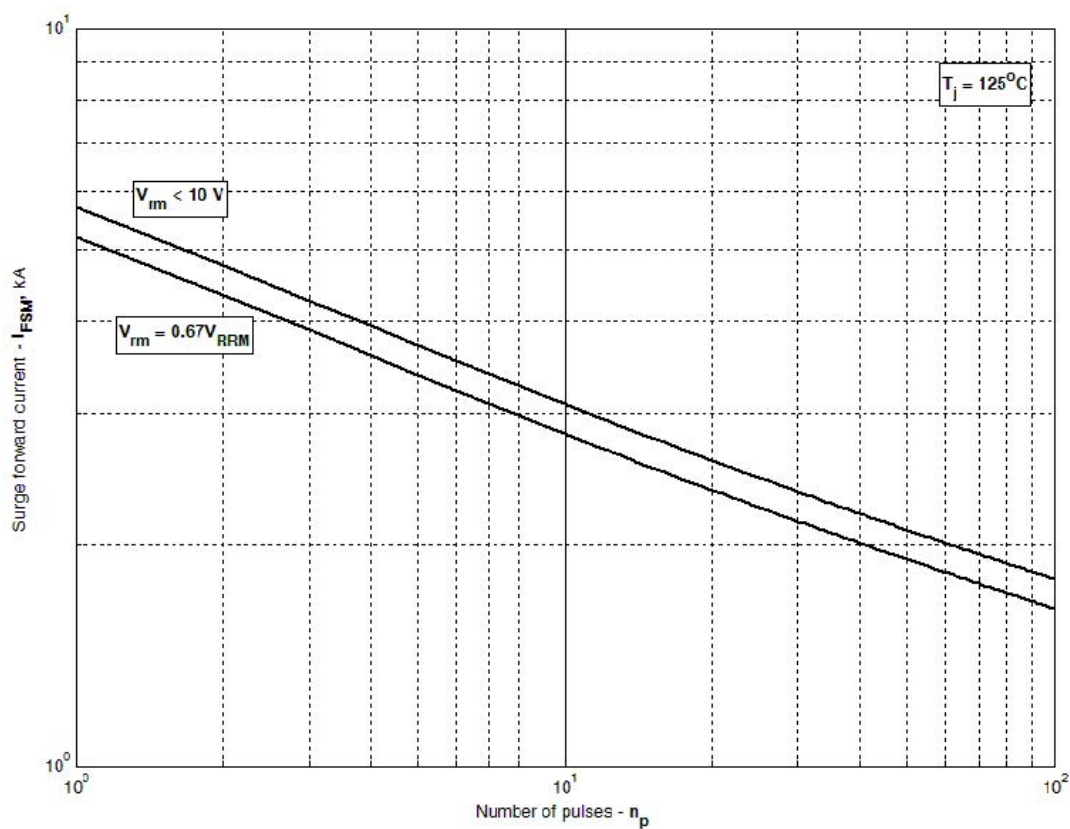


Рис. 13 – Максимальные ударные характеристики